

## Geoid

- fyzikální tvor Země
- hladinová plocha, kde prochází stř. hladinou moří

## Elipsoid

- def:  $a$  - hl. poloosa
- $b$  - vedlejší poloosa
- $f$  - zploštění

$$f = \frac{a-b}{a}$$

- Besselův el.
- Krasovského el.
- Hayfordův el.
- WGS

## - GRS 80

↳ geodetický ref. systém 1980

$$\rightarrow a = 6378\ 137 \text{ m}$$

$$b = 6356\ 752 \text{ m}$$

$$a-b = 21\ 585 \text{ m} \rightarrow \text{polovina zploštění}$$

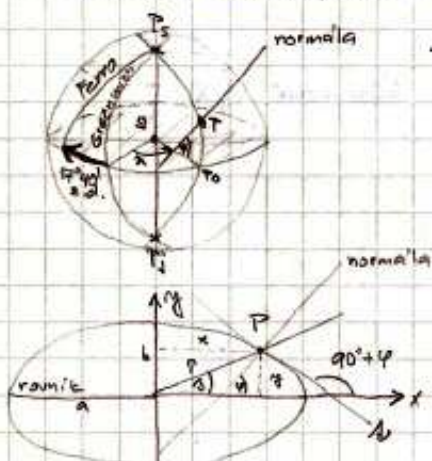
$$f = 0,0033\dots$$

## Koule

- průměrná hoothota  $R = 6371\ 000 \text{ m}$

## Soudobnícové soustavy na elipsoidu

- Geodetické sítě písmenem souř.



- zem. sítě: zem. šířka  $\varphi$   
zem. délka  $\lambda$

↳ definice:  $B, L \rightarrow$  německé výrazy

→ my budeme používat, aby se nám to nepletlo

$$\frac{x^2}{a^2} + \frac{y^2}{b^2} = 1$$

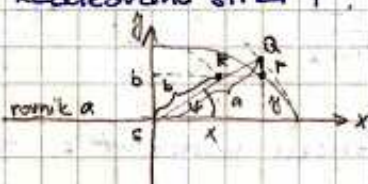
$$b^2 x^2 + a^2 y^2 - a^2 b^2 = 0$$

## 1. Redukce

- Geocentrická šířka  $\beta$

- f. kt. svíra spojnici bodu  $P$  se středem S = rovinou rovníku
- ozn.:  $\beta$
- GDE délka  $\lambda$  zůstává

- Redukovaná šířka  $\psi$ .



$$x = a \cos \psi$$

$$y = b \sin \psi$$

$$\tan \beta = \frac{y}{x} \Rightarrow \tan \beta = (1-e^2) \tan \psi$$

↳ pro rovnoběžku  $45^\circ$  je rozdíl mezi  $\beta$  a  $\psi$   $11'35''$

→  $\beta - \psi = 45^\circ 6'$

$$\frac{\psi}{x} = \tan \beta = \tan \psi = \frac{a \psi}{b x} = \sqrt{1-e^2} \tan \psi$$

$$\frac{a}{b} = \frac{1}{\sqrt{1-e^2}}$$

Vztah mezi GDE řídkou  $\varphi$  bodu P a jeho x,y

$$k = \frac{dy}{dx} = +g(90^\circ + \varphi) = -\cot \varphi \quad k - směrnice$$

$$\frac{2x dx}{a^2} + \frac{2y dy}{b^2} = 0 \rightarrow \frac{dy}{dx} = -\frac{b^2 x}{a^2 y} \Rightarrow \text{diferenciální}\text{ }\text{povor}$$

$$-\cot \varphi = \frac{b^2 x}{a^2 y} = \frac{\cos \varphi}{\sin \varphi}$$

$$b^4 x^2 \sin^2 \varphi - a^4 y^2 \cos^2 \varphi = 0 \quad a \quad b^2 x^2 + a^2 y^2 - a^2 b^2 = 0 \quad (2 \text{ rce o 2 nez.})$$



$$x = \frac{a^2 \cos \varphi}{\sqrt{a^2 \cos^2 \varphi + b^2 \sin^2 \varphi}}$$

$$y = \frac{b^2 \sin \varphi}{\sqrt{a^2 \cos^2 \varphi + b^2 \sin^2 \varphi}}$$

Excentritas

$$e^2 = \frac{a^2 - b^2}{a^2}$$

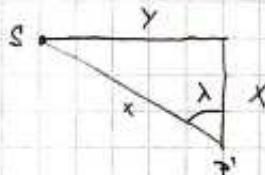
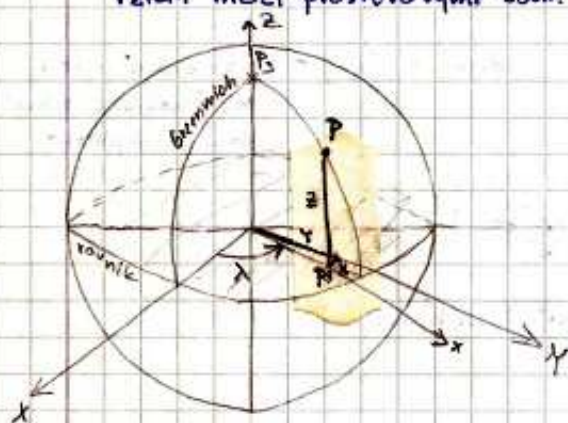
$$b^2 = a^2(1 - e^2)$$

$$x = \frac{a \cos \varphi}{\sqrt{1 - e^2 \sin^2 \varphi}} = \frac{a \cos \varphi}{w}$$

w - 1. hl. GDE fce

$$y = \frac{a(1 - e^2) \sin \varphi}{\sqrt{1 - e^2 \sin^2 \varphi}} = \frac{a(1 - e^2) \sin \varphi}{w}$$

Vztah mezi prostorovými souř. X,Y,Z a GDE souř.  $\varphi, \lambda$



$$x = \frac{a \cos \varphi}{w}$$

$$y = \frac{b \sin \varphi}{w} = \frac{a(1 - e^2) \sin \varphi}{w}$$

$$X = x \cos \lambda$$

$$Y = x \sin \lambda$$

$$Z = y$$

$$X = \frac{a}{w} \frac{\cos \varphi \cos \lambda}{\cos \lambda}$$

$$Y = \frac{a}{w} \frac{\cos \varphi \sin \lambda}{\sin \lambda}$$

$$Z = \frac{a(1 - e^2) \sin \varphi}{w}$$

N - průměr R kružnice

to tedy je prostorové souř. na sférické prostorové s. → matice GPS

$$X = \begin{pmatrix} X \\ Y \\ Z \end{pmatrix} = \begin{pmatrix} N \cos \varphi \cos \lambda \\ N \cos \varphi \sin \lambda \\ N(1 - e^2) \sin \varphi \end{pmatrix} = \begin{pmatrix} (w + h) \cos \varphi \cos \lambda \\ (w + h) \cos \varphi \sin \lambda \\ [N(1 - e^2) + h] \sin \varphi \end{pmatrix} \quad h - eliptická \text{ výška}$$

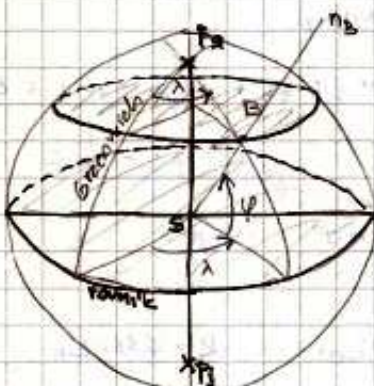
PR1

Soustavy souřadnic na kouli:

↳ konstantní kružnice

↳ všechny normálny v bodech na povrchu se prohýbají ve středu koule

28.2.08



↳ hl. kružnice

↳ polevníky a rovník → procházejí středem koule

↳ oblouk hl. kružnice = ortodroma

↳ 3 body = sférický Δ

2 body = -" - - dujžinuček

↳ plocha mezi 2 hl. kružnicemi

• zem. souř.

↳ sférická zem. síka  $\Phi$   
- " - delka  $\lambda$ 

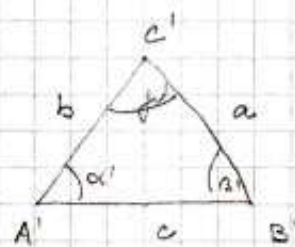
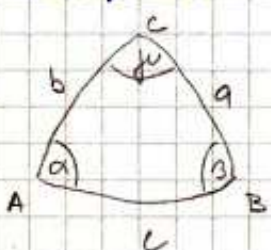
• astronomické

 $\Gamma \varphi$   
 $\lambda$ 

Řešení Δ na elipsoidu přechodem na kouli

↳ délky str. Δ nejsou drahos 60km (v trigon. sítí) → lze řešit na kouli  
↳ malé zploštění elipsoidu↳  $R = \sqrt{MN}$  → str. R koule

- sférický exes



Obr. pro metodu excesů

↳ obsah:  $E$ 

$$\Rightarrow E'' = \frac{P}{R^2} \cdot 9'' \quad P = \text{obsah } \Delta$$

$$E'' = 1'' \rightarrow \Delta, kde a \approx 20 \text{ km} (21,5 \text{ km})$$

- $\Delta \rightarrow$
- 1. bod = pol
  - 2. a 3. bod na rovníku

} všechny  $\Delta 90^\circ = 270^\circ$

$$P = \frac{1}{g} 4\pi R^2 = \frac{\pi}{2} \cdot R^2$$

$$E = \frac{\pi}{2} - 90^\circ \quad \text{navíc proti rovinu}$$

$$\Rightarrow 270^\circ - 90^\circ = 180^\circ$$

↳ délka oblouku

$$- \text{oblouk: } 1^\circ = 110 \text{ km} \rightarrow \text{platí pouze na hl. kružnici}$$

$$- \text{ " : } 1'' = 31 \text{ km}$$

$$R = 6377 \text{ km}$$

$$a = \frac{d}{R} \Rightarrow d = R \cdot a$$

- metoda excesu (Legendreova → polynom)

$$\alpha + \beta + \gamma = 180^\circ + \varepsilon \quad \rightarrow \text{stříšky}$$

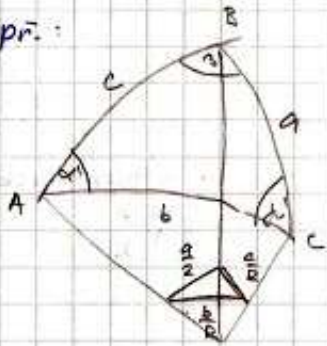
$$\alpha' + \beta' + \gamma' = 180^\circ \quad \rightarrow \text{roviny}$$

$$\Rightarrow \text{odečteme od rebe} \Rightarrow (\alpha - \alpha') + (\beta - \beta') + (\gamma - \gamma') = \varepsilon$$

$$\alpha' = \alpha - \frac{1}{3} \varepsilon \quad \beta' = \beta - \frac{1}{3} \varepsilon \quad \gamma' = \gamma - \frac{1}{3} \varepsilon$$

$$\Rightarrow \text{obecně: } a:b:c = \sin \alpha : \sin \beta : \sin \gamma$$

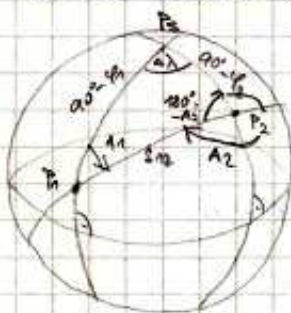
↳ pří:



$$a = 30 \text{ km} \quad R = 6381 \text{ km}$$

$$\frac{a}{R} = 0,004701\dots$$

$$8^\circ \cdot \frac{a}{R} = 16'09,65''$$



## I. GDE úloha

$\rightarrow D: P_1(\varphi_1, \lambda_1), A_1, S_{12}$   
 $V: P_2(\varphi_2, \lambda_2), A_2$

## II. GDE úloha

$\rightarrow D: P_1(\varphi_1, \lambda_1), P_2(\varphi_2, \lambda_2)$   
 $V: S_{12}, A_1, A_2$

užk nebude  
chtít odvozit,  
pouze veden  
o co jde

## I. GDE úloha

$\rightarrow \cos \text{věta}:$   $\cos(90^\circ - \varphi_2) = \cos(90^\circ - \varphi_1) \cos\left(\frac{\vartheta_{12}}{R}\right) + \sin(90^\circ - \varphi_1) \sin\frac{\vartheta_{12}}{R} \cos \alpha,$   
 $\sin \varphi_2 = \sin \varphi_1 \cos \frac{\vartheta_{12}}{R} + \cos \varphi_1 \sin \frac{\vartheta_{12}}{R} \cos \alpha$

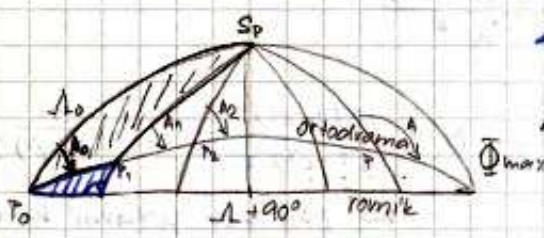
$\rightarrow \sin \text{věta}:$

$$\sin \Delta \lambda = \frac{\sin A_1}{\cos \varphi_2} \cdot \sin \frac{\vartheta_{12}}{R}$$

$$-\sin A_2 = \cos \varphi_1 \cdot \frac{\sin A_1}{\cos \varphi_2}$$

## Orthodroma

$\rightarrow$  rovník, poleidníky ( $\parallel$  ne  $\Rightarrow$  neprochází středem)



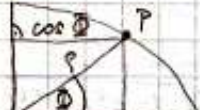
$$\triangle \sin \Phi = \cos \alpha_0 \cdot \frac{\sin \frac{\vartheta}{R}}{\sin 90^\circ} = \cos \alpha_0 \sin \frac{\vartheta}{R}$$

$$\triangle \sin \alpha_1 = \sin \frac{\vartheta}{R} \cdot \frac{\sin \alpha_0}{\cos \Phi}$$

$$\sin A_1 = \frac{\sin \alpha_0}{\cos \Phi} = \frac{\sin \alpha_1}{\sin \frac{\vartheta}{R}}$$

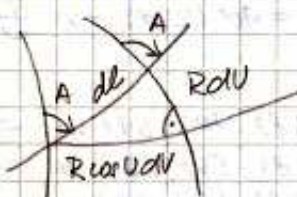
$$\sin A \cos \Phi = \sin \alpha_0 = \text{konst}$$

$$g_1 = R \cos \Phi \rightarrow g_1 \sin A = R \sin \alpha_0 = \text{konst} \rightarrow \text{Clairentova věta}$$



$\rightarrow$  konst. vzdělání průběhu ortodromy

## Loxodroma



- Mercatorovo zobrazení  $\Rightarrow$  loxodroma je přímka

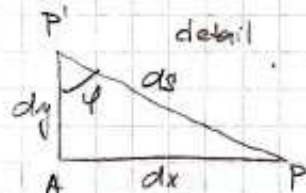
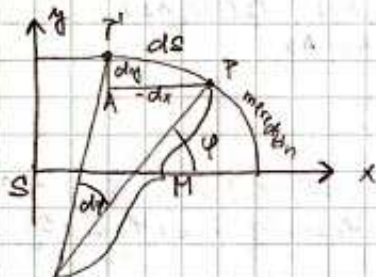
# POLOMĚRY KŘIVOSTI NA ELIPSOIDU

hl. poloměr křivosti  
pričny - " "

- hl. R křivosti

↳ je dan hodnotou M

↳ také se mu může R měřidlové křivosti



$$\begin{aligned} ds &= M d\varphi \\ ds &= \frac{-dx}{\sin \varphi} \end{aligned} \quad \Rightarrow$$

$$M d\varphi = -\frac{dx}{\sin \varphi}$$

$$M = -\frac{1}{\sin \varphi} \frac{dx}{d\varphi} \quad \rightarrow \text{definice}$$

$$x = \frac{a \cos \varphi}{\sqrt{1 - e^2 \sin^2 \varphi}} = \frac{a \cos \varphi}{w}$$

$$M = \frac{a(1-e^2)}{(1-e^2 \sin^2 \varphi)^{3/2}} = \frac{a(1-e^2)}{w^3}$$

$$\begin{aligned} \varphi &= 90^\circ \rightarrow \max \quad \rightarrow M = \frac{a(1-e^2)}{(1-e^2)^{3/2}} = c = \frac{a}{(1-e^2)^{1/2}} = \frac{a^2}{b} \\ \varphi &= 0^\circ \rightarrow \min \end{aligned}$$

↳ polomer polohy křivosti

- pričny R křivosti  
↳ je dan hodnotou N

$$x = N \cos \varphi$$

$$N = \frac{x}{\cos \varphi} = \frac{a \cos \varphi}{\sqrt{1 - e^2 \sin^2 \varphi}} \cdot \frac{1}{\cos \varphi} = \frac{a}{\sqrt{1 - e^2 \sin^2 \varphi}} = \frac{a}{w}$$

- polomer křivosti v azimuthu  $\alpha$

$$\Rightarrow \frac{1}{R_{\alpha}} = \frac{\cos^2 \alpha}{M} + \frac{\sin^2 \alpha}{N}$$

$$\begin{aligned} \alpha &= 0^\circ (180^\circ) \rightarrow \frac{1}{M} \\ \alpha &= 90^\circ (270^\circ) \rightarrow \frac{1}{N} \end{aligned}$$

- stř. R křivosti

$$\Rightarrow R_m = \sqrt{MN}$$

$$R_m = 6380,703,611 \text{ m} \rightarrow \text{Berec}$$

$$R_m = 6381,561,267 \text{ m} \rightarrow \text{Kraiov.}$$

$$R_m = 6381,453,683 \text{ m} \rightarrow \text{GRS80}$$

↳ prakticky ident.

1. WGS84

$$\begin{aligned} 1. \frac{4}{3} \pi R^3 &= \frac{4}{3} \pi a^2 b \\ R &= \sqrt[3]{a^2 b} \end{aligned}$$

$$2. 4\pi R = 4\pi b^2 \left( 1 + \frac{2}{3} e^2 + \frac{2}{5} e^4 + \dots \right)$$

$$R = \sqrt[3]{\dots}$$

- nejlepší by bylo mit elipsoid trojazy, ale používáme dvojazy

$$R_B = 6370,3 \text{ km}$$

$$R_K = 6371,1 \text{ km}$$

$$R_{GRS} = 6371,0 \text{ km} \rightarrow \text{ve FYGDE}$$

## Délky oblouků

12.3.08

$$ds = M dy$$

$$s = \int_0^y M dy = \underbrace{M(1-e^2)}_{M} \int_0^y (1-e^2 \sin^2 y)^{-\frac{1}{2}} dy$$

elliptický integrál

$$(1-e^2 \sin^2 y)^{-\frac{1}{2}} = 1 + \frac{3}{2} e^2 \sin^2 y + \frac{3}{2} \cdot \frac{4}{3} e^4 \sin^4 y + \dots$$

$$(1 \pm x)^n = 1 \pm \binom{n}{1} x \pm \binom{n}{2} x^2 \dots$$

$$s_e = 111\,134,861\,084 \cdot 49^\circ - 16\,036, \dots \sin 2\varphi + \dots$$

$$\varphi = 90^\circ \Rightarrow s_e = 111\,134,861\,084 \cdot 49^\circ (90^\circ) = 10\,002\,137,497 \text{ m}$$

$$s_B = 10\,000\,955,766 \text{ m}$$

$$s_{126} = 10\,002\,001,231 \text{ m}$$

↳ oblouk od rovníku k polu („zemský kvadrant“)

## Historie

- hledal se délkový etalon (17. st.) - Francouzská akademie věd  
 ↳ délka kvadranta (zadala na řík a dobu kvadrantu a nadm. výšky)

→ desetimilimetrový ředitel oblouku zemského kvadrantu

↳ definice metru, tehdy měřeno např. pod oblouku Pariz - jih Francie  
 limitování přesnosti

↳ vypracovalo GDE, aby určila délku zem. kvadrantu přesně

- problém: teorie Newtona a experimenty → Země je polově eliptická  
 (poludník → elipsa → krátší oblouk u rovníku, delší u polů)



teorie Cassiniego → Země je koule

- vývoj měření na povrchu Země:

↳ 1. Pythagoras

↳ koule (klode, ...)

↳ Aristoteles

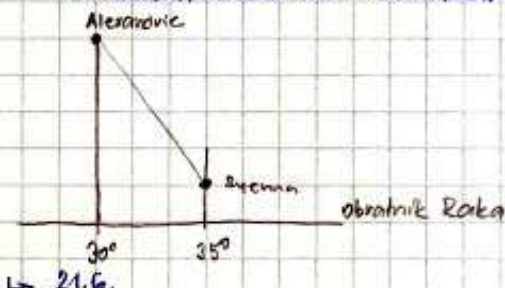
↳ zatmení Měsíce a Slunce ... - koule

↳ Eratosthenes z Kyreny 276 - 195 př. n. l.

↳ v době letního slunovratu 21.6. v Syréně na J. Egypta (Alexandri) je studna do vráž slunce kolmo prosvítit (není stín)

↳ v Alexandrii Slunce vráž stín → že t. bude reprezentovat ten t.

↳ Asyrtik stava na obrazníku Raka



↳ 21.6.

$\alpha =$  padesátina celé kruhu  $\rightarrow$  vzd. odpovídá

$\rightarrow$  = vzd. Atudn - Syrena z celé koule

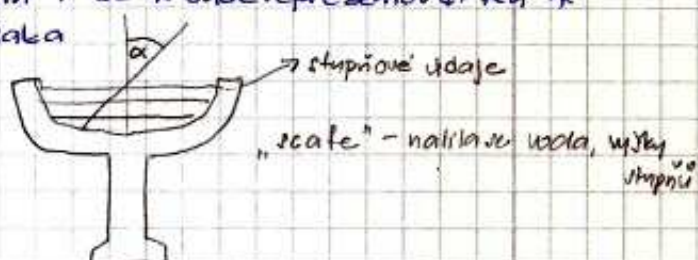
- vzd. 2  $\rightarrow$  denní pochody karavan A-S

- délkové jednotky: stadia (158 - 185 m = 1 stadium)

$\cong 5000$  stadii

$$5000 \cdot 50 = 25000 \text{ stadii} \cdot 171,5 \div 6844 \text{ km} = R$$

chyba 7,3% ze souř.



724

## Riešení GDE úloh na elipsoidu

20.3.08

## 1. GAE Alpha

Datra :  $P_1(\gamma_1, \lambda_1)$

6

$s_{12}$  na  $P_2$

$$V: P_2(\varphi_2, \lambda_2)$$

α<sub>21</sub>

- řešení: Le gendreho řešení (dříve)

$$y_2 - y_1 = \left( \frac{dy}{ds} \right)_{s=0} s + \left( \frac{d^2 y}{ds^2} \right) \frac{s^2}{2} + \dots + \sum \left( \frac{d^i y}{ds^i} \right) \frac{s^i}{i!} \text{ faktorial}$$

$\lambda_2 - \lambda_1 = \quad \quad \quad$

$\alpha_2 - \alpha_1 = \quad \quad \quad \text{analogicky}$

$$\frac{dy}{ds} = \frac{\cos \alpha}{M} = \frac{(1 - c^2 \sin^2 \varphi)^{\frac{3}{2}}}{\alpha(1 - c^2)} \cos \alpha = f(\varphi, \alpha)$$

$$\frac{d^2\varphi}{ds^2} = \frac{\partial f}{\partial y} \cdot \frac{dy}{ds} + \frac{\partial f}{\partial x} \cdot \frac{dx}{ds} \quad h(y, x)$$

D 2k - naznačit výsledný 1., 2. užoby na clipboardu

2 2 2

$$y_i = y_{i-1} + \sum_{j=1}^i \frac{\cos \alpha_{j-1}}{M y_{j-1}} \cdot h \quad h\text{-integraioni krok}$$

$$\begin{aligned} h_i &= \\ \alpha_i &= \end{aligned} \} \text{ analogické}$$

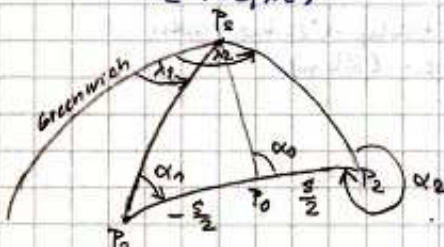
## II. GDE 410h9

Dong:  $P_1(4_1, \lambda_1)$

$$P_2(4_2, \lambda_2)$$

$v_1 \in S_{22}$

$$\alpha_{32}, \alpha_{33}$$



### - Gaussian filter:

$$y_1 = y_0 - \left( \frac{dy}{ds} \right) \frac{s}{2} + \left( \frac{d^2y}{ds^2} \right) \frac{s^2}{8} - \left( \frac{d^3y}{ds^3} \right) \frac{s^3}{48} + \dots$$

$$y_2 = y_0 \oplus (\quad) \dots + \dots \oplus \dots +$$

$$y_2 - y_1 = \left( \frac{dy}{dx} \right)_{x_1} + \left( \frac{d^2y}{dx^2} \right) \frac{x^2}{24}$$

#### - metoda tēriuva:

$$\begin{pmatrix} x_i \\ y_i \\ z_i \end{pmatrix} = \begin{pmatrix} N_i \cos \varphi_i \cos \lambda_i \\ N_i \cos \varphi_i \sin \lambda_i \\ N_i (1 - e^2) \sin \varphi_i \end{pmatrix}$$

$$\ell^2 = (x_2 - x_1)^2 + (y_2 - y_1)^2 + (z_2 - z_1)^2$$

- používá se už odvleč pro drahých vozů (100km,...)

## GDE polohové základy (GPZ)

- pokračují st. území
- body sítě tvoří  $\Delta$  → budoucí klasickou triangulaci
- ozn.:
  - ↳ dnes: astronomicko-geodetický systém (AGS)
  - ↳ dřívější: základní trigonometrický systém

### a) utváření základní sítě

- základní nebo 1. rádce
- $\Delta$  o stranách 35 km
- přesnost kvalitní, aby byla kvalitní, musí být schválena Mezinárodní GDE unie
- str. ch. ve směru Ferencův vzorec

$$m_{\sigma} = \sqrt{\frac{[UU]}{G \cdot l}}$$

$$m_G < 0,4'' \quad 0,27''$$

$U$  - uzavřen  
 $l$  - počet  $\Delta$  v síti

### b) str. ch. v $\star$ :

$$m_w = \sqrt{\frac{[UU]}{3 \cdot l}}$$

$$m_w < 0,32''$$

- měřilo se v Lj
- pozdeji se přelo na vrcholatku metoda

### b) délkové zámerení GDE základen

- inovační dráhy ( $s \approx 10$  km)
- přesnost:  $1 \cdot 10^{-6}$  m

### c) astronomické měření ( $\gamma, \lambda, \alpha$ )

- Laplaceovy body

- postupným shrnutováním této sítě body nížšího rádu
- data shrnutování uhnat do V rádu (2 km)

Převod naměřených směrů na uprostřed plochu

#### 1. Něnicová oddalylka $\theta$

- k.kt. svíra normála k el. a hranice v bodě P
- mohy  $\theta$

$$\theta_1 = -(\beta \sin \alpha - \gamma \cos \alpha) \cot \varphi$$

- $\beta \rightarrow$  meridianařská složka od.  $\theta$  (vesmíru pol.)
- $\gamma \rightarrow$  průvodní  $\theta$  (II - II)

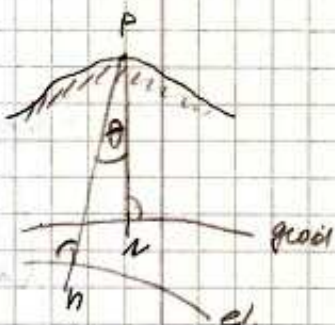
$$\cot \varphi = \frac{H_2 - H_1}{s} - \frac{(1-k)s}{2R}$$

$$k = 0,13$$

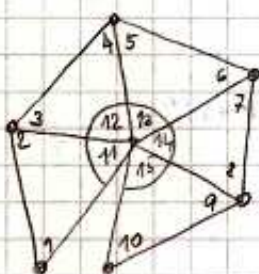
↳ stan. znat' průběžné

- obrazuje několika stupňů

\* u PE5



- výpočty hodnoty musí splňovat 5. podmínky:



1. podmínka trojúhelníková

$$\hookrightarrow součet \angle v \Delta = 180^\circ$$

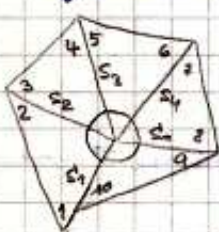
$$\hookrightarrow x_1 + x_2 + x_{11} = 180^\circ = 0$$

2. podmínka zařazení

$$\hookrightarrow stranová + vrcholová = 360^\circ$$

$$\hookrightarrow x_{11} + x_{12} + x_{13} + x_{14} + x_{15} = 360^\circ = 0$$

Momento obrazec obě podmínky splňuje, ale na stranově



$$S_1 = S_0 \frac{\sin x_2}{\sin x_0}$$

$$S_2 = S_1 \frac{\sin x_3}{\sin x_0} = S_0 \frac{\sin x_2}{\sin x_0} \frac{\sin x_3}{\sin x_0}$$

$$S_0 = S_0 \frac{\sin \dots}{\sin \dots} = 1$$

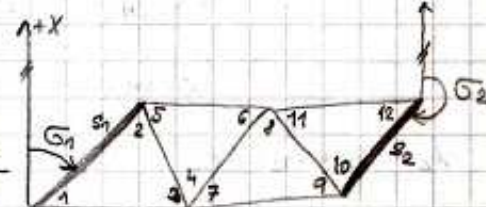
3. podmínka stranová

$$\hookrightarrow \frac{\sin x_1 \cdot \sin x_2 \cdot \sin x_3 \cdot \sin x_4}{\sin x_2 \cdot \sin x_3 \cdot \sin x_4 \cdot \sin x_5 \cdot \sin x_6} = 1$$

4. podmínka základnová

$\hookrightarrow$  vnitřní rozdíl sítě

$$\hookrightarrow \frac{\sin x_1 \sin x_5 \sin x_6 \sin x_{11}}{\sin x_0 \sin x_6 \sin x_9 \sin x_{12}} = \frac{S_2}{S_1}$$



5. podmínka důvěrnosti (smerového koutu)

$$\hookrightarrow \bar{x}_2 = \bar{x}_1 + x_1 + x_3 + x_4 + x_2 + x_9 + x_{10} \pm i 180^\circ$$

Základy trojrozměrné GDE

$\hookrightarrow$  dnes aktuální  $\rightarrow$  info o poloze bodu v prostoru  $(x, Y, Z) \rightarrow$  1. plána

- GDE si stavit mohou nejdříve  $x, Y +$  výška neboli  $\varphi, \lambda, H$

$\hookrightarrow H$  byla voladna na jinou plánu (geodet)  $\rightarrow$  2. plánu

- 3. rozměrná GDE měla výkaly: - hodnoty se měnily obtížně  $\rightarrow$  vlivem refrakce  
- výpočty složité

proto  $X, Y$  na 1. plánu a  $H$  na 2. plánu

$\hookrightarrow$  geometrické GDE to takto vypadá

(fyzikální GDE  $\rightarrow$  1. plánu)

- metoda GPS  $(X, Y, Z)$

$\hookrightarrow$  přeformulovat na  $\varphi, \lambda, H \rightarrow$  obrátilo se to  $\rightarrow Y, \lambda, H$  potřeba pro geodet

$$\begin{pmatrix} X \\ Y \\ Z \end{pmatrix} = \begin{pmatrix} (N+H) \cos \varphi \cos \lambda \\ (N+H) \cos \varphi \sin \lambda \\ (N[1-\varepsilon^2] + H) \sin \varphi \end{pmatrix}$$

$H$  - ellipsoidická výška

$\hookrightarrow$  my máme nadm. h a musíme znát i převýšení geodet a ellipsoid

$$\hookrightarrow \lambda: \frac{X}{Y} \Rightarrow \tan \lambda = \frac{Y}{X}$$

$\rightarrow$  jednoduché, problém je s  $\varphi$

$$\sin \lambda = \frac{Y}{\sqrt{X^2 + Y^2}}$$

$$\cos \lambda = \frac{X}{\sqrt{X^2 + Y^2}}$$

$\rightarrow$  kontrolné

$$\frac{z}{\sqrt{x^2+y^2}} = \frac{(N+H) \sin \varphi - Ne^2 \sin \varphi}{(N+H) \cos \varphi}$$

$$\tan \varphi = \frac{z}{\sqrt{x^2+y^2}} + \frac{N}{(N+H)} e^2 \tan \varphi$$

pravidelné 1

$$\tan \varphi (1-e^2) = \frac{z}{\sqrt{x^2+y^2}}$$

$$1-e^2 = \frac{1}{1+e'^2}$$

$$\tan \varphi' = \frac{z(1+e'^2)}{\sqrt{x^2+y^2}}$$

$$H = \frac{x}{\cos \varphi \sin \lambda} - N$$

D:  $P_1(x_1, y_1, z_1)$   
 $P_2(x_2, y_2, z_2)$

$$s_{12} = \frac{x_2 - x_1}{l_{12}} = \frac{y_2 - y_1}{m_{12}} = \frac{z_2 - z_1}{n_{12}}$$

$l_{12}, m_{12}, n_{12} \rightarrow$  směrové cosiny

$$l_{12}^2 + m_{12}^2 + n_{12}^2 = 1$$

- vektor  $\vec{A} \rightarrow |\vec{A}| = \sqrt{A_x^2 + A_y^2 + A_z^2} \rightarrow$  abs. velikost

$$\cos(\vec{A}, \vec{n}) = \frac{A_z}{|\vec{A}|} \rightarrow \neq \text{mezi } \vec{A} \text{ a } \vec{n}$$

$$\cos(\vec{A}, \vec{n}) = \frac{A_z}{|\vec{A}|} \quad \text{pomer} = 1 \rightarrow \frac{A_x^2 + A_y^2 + A_z^2}{|\vec{A}|} = 1$$

$$x_2 = x_1 + s_{12} \cdot l_{12}$$

- problem: směrový → musíme mít zeměpis. a zeměměr.

- celá soustava se otočí přes matice rotace v kružnici rovinou

→ tak aby zdejší směr mezi  $P_1, P_2$  byl na osy  $y$

- výsledek:  $l_{12} = \cos \varphi_1 \cos \lambda_1 \cos 2_{12} - \sin \varphi_1 \cos \lambda_1 \sin 2_{12} \cos A_{12} - \sin \lambda_1 \sin 2_{12} \sin A_{12}$

$$m_{12} = \dots$$

$$n_{12} = \dots$$

musíme zdejší přesné, pouze vzdálet vložit do jedna

### Prostorové protinámi

D:  $P_1(\varphi_1, \lambda_1, H_1)$        $A_{13}, A_{23}$   
 $P_2(\varphi_2, \lambda_2, H_2)$        $2_{13}, 2_{23}$  na kod  $P_2 \rightarrow$  zeměpis. +

U:  $P_2(\varphi_2, \lambda_2, H_2) \rightarrow P_2(x_2, y_2, z_2)$

- řešení: 1.  $P_1, P_2$  přetrasformovat na  $x, y, z$

2.  $l_{13}, m_{13}, n_{13}; l_{23}, m_{23}, n_{23} \rightarrow$  výpočet

3.  $\frac{x_2 - x_1}{l_{13}} = \frac{y_2 - y_1}{m_{13}} = \frac{z_2 - z_1}{n_{13}} = s_{13} ;$  hledáme  $S_{23}$

4. opravy:  $x_2 = l_{13} S_{13} - l_{23} S_{23} + (x_1 - x_2)$

$$y_2 = m_{13} S_{13} - m_{23} S_{23} + (y_1 - y_2)$$

$$z_2 = \dots$$

■ - minimizace chyb → normální řeš → vyrovnání hodnoty  $S_{13}, S_{23}$

5. prostorové souř. →  $x_3 = x_1 + l_{13} \overline{S_{13}}$

PR5

## Transformace.

$(x, y) \rightarrow$  původní  
 $(\tilde{x}, \tilde{y}) \rightarrow$  transformovaná  
 $\omega \rightarrow$  rotace  
 $R \rightarrow$  matici rotace  
 $q \rightarrow$  matices  $q = 1$  konformní rovinatce podobnostní<sup>rotace</sup>  
 $q = -1$  — " — shodnosti

$$\begin{aligned} x &= x \cos \omega - y \sin \omega + k_x \\ y &= x \sin \omega + y \cos \omega + k_y \end{aligned}$$

$$R = \begin{pmatrix} \cos \omega & -\sin \omega \\ \sin \omega & \cos \omega \end{pmatrix} = \begin{pmatrix} a_{11} & a_{12} \\ a_{21} & a_{22} \end{pmatrix}$$

$$\vec{x} = q R \vec{x} + \vec{k} = q \begin{pmatrix} \cos \omega & -\sin \omega \\ \sin \omega & \cos \omega \end{pmatrix} \begin{pmatrix} x \\ y \end{pmatrix} + \begin{pmatrix} k_x \\ k_y \end{pmatrix}$$

$\hookrightarrow$  5. pruková resp. 3. pruková!

$\hookrightarrow$  mezi body se během tce  $\neq$  nemění, jen srovnání

$\hookrightarrow$  potřebujeme znít tenu, kde:

$$\omega = \alpha - \alpha'$$

$$\operatorname{tg} \alpha = \frac{\Delta y}{\Delta x} \quad \operatorname{tg} \alpha' = \frac{\Delta x}{\Delta y} \quad q^2 = \frac{s'^2}{s^2} = \frac{\Delta x^2 + \Delta y^2}{\Delta x^2 + \Delta y^2}$$

## \* PR4

2. zaměněné body jsou vzdálených  $H$  nad el.

- korekce  $\delta_2$

$$\delta_2'' = 0,108 H^2 (\text{km}) \cos^2 \varphi \sin 2\alpha$$

3. korekce azimuthu normalkarboho včetně na azimuth  $GDE$  body

- pro  $\delta_3$ :

$$\delta_3'' = -0,028 \cos^2 \varphi \sin 2\alpha \left( \frac{8(\text{km})}{100} \right)^2$$

$\hookrightarrow$  zanedbatelná pro výšky vzdálení

Př 6

## Helmertova transformace

3.4. op

- předpokládáme, že se budou hodnoty vyrovnat → potřeba ~~NB~~  
→ výrovnaní MNC  
Nice IB

- my hlavně probereme prostorovou Helmertovu tří
- ↳ parzitě: z jednoho el. na jiný el.

↳ původní soustava:  $\vec{x} = (x, y, z)^T$   
nová → :  $\vec{x} = (X, Y, Z)^T$

↳ v prostoru kladou 3 počítání → 3 + rotace:  $\begin{matrix} \alpha & X \\ \beta & Y \\ \gamma & Z \end{matrix}$

↳ matice rotace:  $R = R(\alpha) \cdot R(\beta) \cdot R(\gamma)$   
 $\Delta X, \Delta Y, \Delta Z$

$q = 1+m$

⇒ 7 pravková konformní Helmertova prostorová tří

$$\begin{pmatrix} X \\ Y \\ Z \end{pmatrix} = q \cdot R \begin{pmatrix} x \\ y \\ z \end{pmatrix} + \begin{pmatrix} \Delta X \\ \Delta Y \\ \Delta Z \end{pmatrix}$$

- předpokládáme, že  $\alpha, \beta, \gamma$  budou malé

$$R = \begin{pmatrix} 1 & 0 & 0 \\ 0 & \cos \alpha & \sin \alpha \\ 0 & -\sin \alpha & \cos \alpha \end{pmatrix} \cdot \begin{pmatrix} \cos \beta & 0 & -\sin \beta \\ 0 & 1 & 0 \\ \sin \beta & 0 & \cos \beta \end{pmatrix} \cdot \begin{pmatrix} \cos \gamma & \sin \gamma & 0 \\ -\sin \gamma & \cos \gamma & 0 \\ 0 & 0 & 1 \end{pmatrix}$$

$$R = \begin{pmatrix} \cos \beta \cos \gamma & \sin \beta \sin \gamma & 0 \\ -\cos \beta \sin \gamma & \cos \beta \cos \gamma & 0 \\ \sin \beta \cos \gamma & \sin \beta \sin \gamma & 0 \end{pmatrix}; \quad \begin{pmatrix} \cos \alpha \cdot \cos \gamma & \sin \alpha \cdot \cos \gamma & 0 \\ -\sin \alpha \cdot \cos \gamma & \cos \alpha \cdot \sin \gamma & 0 \\ 0 & 0 & 1 \end{pmatrix}$$

$\cos \alpha \sin \beta \sin \gamma$  je velice malá hodnota

$$\begin{pmatrix} X \\ Y \\ Z \end{pmatrix}_{\text{EDFZ}} = (1+m) \begin{pmatrix} 1 & \gamma & -\beta \\ -\gamma & 1 & \alpha \\ \beta & -\alpha & 1 \end{pmatrix} \cdot \begin{pmatrix} x \\ y \\ z \end{pmatrix}_{\text{EDFZ}} + \begin{pmatrix} \Delta X \\ \Delta Y \\ \Delta Z \end{pmatrix}$$

PR6

$$\begin{pmatrix} X \\ Y \\ Z \end{pmatrix}_{\text{EDS7}} = (1+m) \begin{pmatrix} 1 & \mu & -3 \\ -\mu & 1 & \alpha \\ 3 & -\alpha & 1 \end{pmatrix} \begin{pmatrix} X \\ Y \\ Z \end{pmatrix}_{\text{ITE}} + \begin{pmatrix} \Delta X \\ \Delta Y \\ \Delta Z \end{pmatrix}$$

3.4.08

Pr.: tce S-JTSK  $\rightarrow$  EDS7

Translace [m]

$$\begin{array}{ccc} \Delta X & \Delta Y & \Delta Z \\ 637,821 & 200,932 & 655,195 \end{array}$$

Rotace

$$\begin{array}{ccc} \alpha & \beta & \gamma \\ -5,928'' & -1,623^{\circ} & -5,172'' \end{array}$$

Zkreslení

$$6,85 \cdot 10^{-6}$$

## ZAKLADNI GDE SITE

$\Gamma$  polohové  
výškové

- polohové
  - $\hookrightarrow$  tvorbeny trigon. sítě
  - $\hookrightarrow$  určuje se souř.  $\Upsilon, \lambda$  na přijatelném elipsoidu, k.t. se přetrasouvají do zobraz. roviny
  - $\hookrightarrow$  charakterizují: - elipsoid

- zdkl.  $\Delta$  sit  $\nu$  (1 rad)
- měřené veličiny (viz minule PR)
- zdkl. (výchozí) bod  $\Delta$  sit
  - $\hookrightarrow$  změnit v  $\Upsilon, \lambda$  a mit stejně jako astronomické  $\Upsilon, \lambda$ ,
  - $\alpha$
- zp. výrovná sítě
- druh zobraz.  $\Delta$  sit do roviny

- výškové

$\hookrightarrow$  definovány nad různou plochou

geod.  $\rightarrow$  odt nej jsou výsky fyzikální odcítadly

$\rightarrow$  jako vzdálená plocha se bude hladina moci a očekávat (není výhledové)

str. hladina  $\rightarrow$  určuje se pomocí mareografu

$\rightarrow$  stádovitě se několik let a pak se určit (dnes: nejméně interval 10 let)

$\hookrightarrow$  charakterizuje se: - str. hladinou move

$\hookrightarrow$  nivelační se rozdělí po území (8 předpisení syst. chyb  
 $\rightarrow$  velké vzd.)

- nivelační sítě + měření
- zp. výpočtu oprav z vlivu těžového pole Země
  - $\hookrightarrow$  mluví po hladinové ploše z body A do B, tak měřené zdrojné přesuny  $\rightarrow$  místní nivelažení po rovině
  - $\rightarrow$  falešné představa  $\rightarrow$  zobrazení hladinových ploch
  - $\rightarrow$  body leží výše vící zdkl. hladinové ploše
- výkonné nivelační sítě
  - $\hookrightarrow$  hl. je výchozí bod

## Vývoj polohových základů

- 7. historických etap:

1. Katastrální triangulace na území R-U

↳ v letech 1818 - 1864

↳ 1. sítě

↳ elipsoid:

$$a = 6376 \text{ 045 m}$$

$$i = 1: 310$$

↳ rozmer sítě: 2dlodna

↳ poč. stacionárních bodů závisen astronomicky

↳ 1. - 4. řídí : 4 řídí - graf. prohlubní (3. body na 1ML 1:2810)

↳ nebylo provedeno stabilizace

↳ zákl. body: Götterber  
sv. Nepomuk

2. Vojenské triangulace (1862 - 1898)

↳ elipsoid: Besselov

$$a_b = 6377 \text{ 399, 155} \quad i = 1: 299, 15$$

↳ definované pro celou Evropu

↳ zahráno 22 základů

↳ přesnost měření:  $\sigma_y = 0,93'$

↳ zákl. bod: bod Hermannskegel ve Würzburgu

↳ měřena astronom.  $\varphi$  a  $\alpha$

↳ nebyla uvedena prenese se geodeticky vzdáleností  
od Würzburgské laboratoře, kde se měřila

3. S-JTSK (1920 - 57)

↳ nebylo provedeno: - nové astronomické měření

- měření 600 základů a sítí

- spojení se sítěmi sousedních států

↳

4. SS 1952 (S-52)

5. SS 1942 (S-42)

6. SS 1942/83 (S-42/83)

7. SS S-JTSK 195

## Vývoj výškových základů

- založeno: 1867

- měření bylo: 1872 - 1896

↳ niv. porady My po zeleninách (pozdněji přesuny)

↳ hmot. území: zákl. niv. bod Lisev

↳ " — strečno (SR)

↳ výchozí bod: Terst - molo Santorio

- měřily se délky pohledových polí → stupňové měření
- zvolen výchozí bod na stř. hladině moří a pak se rovnala po celé síti nivelačí
- oprava normalizace ...
  - ↳ brala v úvahu normální kruhové pole
  - ↳ vyrovnávací pole (umělé)
  - ↳ charakterizovala hodnotami tříhodinového zvýšení  $\gamma$
  - ↳ MAT popsatelná hodnota
  - ↳ v té době zádušné měření  $\gamma$  neexistovalo
- zvoleny zákl. body: ČR → Líšov u ČB  
SR → Štěrboh u Žiliny
- rok 1918
  - ↳ MVP (Ml. Výjevujících Praze) provádělo měření na území ČR } zákl. bod: Terezín
  - ↳ Vojenský zeměm. ústav — SR
- rok 1938
  - ↳ jednotná síť → ČSNS
    - ↳ napojena na hladinu v Amsterdamu (Normal - Null)
    - ↳ dnešní niv. evropská síť Normal - Null → snaha vše připřít na tento niv.
- 50. léta
  - ↳ změna:
    - výchozí bod: Kroměříž
    - korekce: Hologenského korekce, k.t. výchozely z tříhodinových měření (z reálných hodnot)
    - konfigurace
  - síť východního bloku se spojily → vznik Bpv
- Bolt - 68
  - ↳ pro vojenské TOPO MAPY v 50. letech
- Bolt - 46
  - ↳ pro civilní sítě
  - ↳ vznik: převodem → odt. ČSNS s / j se odečetlo 46 cm

## ZÁKLADY ...

- Newtonův z.

$$\vec{F}_{12} = -G \frac{m_1 m_2}{r_{12}^2} \vec{r}_{12}$$

↓ jednotkový vektor, k.t. niv. neudržatelný, pouze zátočka  
 ucelitý vektor

$r_{12}$  - vzd.  
 $G$  - gravitační konstanta → Newtonova (ve FY využ. ze, i GDE 6)

↓ [kg m s<sup>-2</sup>] → přesnost

$$G = (6,67259 \pm 0,0003) \cdot 10^{-11} [N]$$

↳ u této čísla už je není přesné

↳ velmi malé hodnoty, ale my pracujeme s velkou m (m<sup>2</sup>m<sup>-2</sup> = 10<sup>24</sup>)  
 → potom se velikost sily projeví

G

- ↳ 4 cifry jsou mimo  
↳ g je presně na 9,81 m/s<sup>2</sup>

}

↳ výsledek bude pouze na 4. cifry

→ řešení: geocentrická gravitační konstanta

↳ uvoz: výpočty kosmické sondy (satellite)

a zjistování je poloha a rychlosť sondy,  
môžu sa to milionkrát a výsledok se to  
→ výpočet je presnost' na 7 cifr

↳ to samé je i s hmotnosťí Země

smerový cosinus

$$\vec{F}_i = -G \int \int \frac{dm_1 dm_2}{r_{12}^2} \frac{(x_{12} - x_{ij}^*)}{r_{12}}$$

$m_1 = m$  Země

$m_2 = m$  by se zrušila → ideální

→ výpočtme  $\propto m_2 / m_1$ , kdyby jsme uvažovali 1, tak tam  
položil  $m = 1\text{kg}$

$$\vec{k} = \frac{\vec{F}}{m} \quad \rightarrow \text{intenzita grav. pole}$$

↳  $m_2 \rightarrow$  nejdříve 2, je to jasné, že jede o 2

$$\vec{k} = -G \frac{m'}{r^2} \vec{r} \quad m' = \text{hmotnost, přes kt. se integruje}$$

$$\boxed{\vec{k}_j = -G \int \frac{m'}{r^2} \frac{(x_j - x_j^*)}{r}} \quad \rightarrow \text{intenzita g. pole}$$

### Konservativní pole

- charakteristika: neztrácí se energie

→ poloha bodu indizuje fakt popisující jeho umístění  
(ne vektorem), kde bude obsahovat informaci o  
pozici → skalár

$$dA_{12} = \vec{F} d\vec{r}_{12} = -G \frac{m_1 m_2}{r_{12}^2} \frac{(\vec{r}_{12} \cdot d\vec{r}_{12})}{d\vec{r}_{12}}$$

$$A_{12} = -E_p = \int \vec{F} d\vec{r}_{12} = G \frac{m_1 m_2}{r_{12}} + \text{konst.} \quad E_p = \text{potenciální pole}$$

$$V = G \frac{m'}{r} \quad \text{pouze bodová hmotnost} \quad \rightarrow \text{gravitační potenciál}$$

↳ nezáleží na směru → vytváříme plochu s poloměrem r  
 $V = \text{konst.} \rightarrow$  hladká plocha (ekv. potenciální plocha)

↳ pro body na povrchu Země ještě potenciál nazýváme země

$$W = V + Q$$

$$\vec{K} = \vec{\text{grad}} V = (\vec{i} \frac{\partial}{\partial x_1} + \vec{j} \frac{\partial}{\partial x_2} + \vec{k} \frac{\partial}{\partial x_3}) V = \nabla V$$

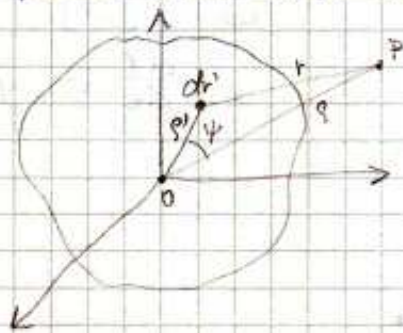
gradientový operátor (Nabla)  $\rightarrow$  Hamiltonián

$$V(P) = G \int_{mi}^{} \frac{dm'}{r}$$

- potenciálová funkce, kt. se dá rozvinout do řady

je nejobecnější výraz pro gravitaciální potenciál v bodě P

- počítat umístitkovat do tělesa tělesa



$$\frac{1}{r} = \frac{1}{s} \left[ 1 + \left( \frac{s'}{s} \right)^2 - 2 \frac{s'}{s} \cos \psi \right]^{-\frac{1}{2}}$$

s - konst. vzd. k P

s' - proměnná dle průběhu elementu

$$V(P) = \frac{G}{\pi} \int_{m'}^{\infty} \sum_{m=0}^{\infty} \left(\frac{s'}{s}\right)^n P_n(\cos \varphi) dm' \quad \rightarrow \text{rozhnout do řady}$$

- interval  $\langle -1, 1 \rangle \rightarrow$  argumenty Legendreových polynomů  
 $\sin \varphi = -1$  na  $\sqrt{p}$ olu  
 $\cos \varphi = 1$  na  $S$ polu  
 $\rightarrow$  natočto intervalu jsou LP ortogonální

Rodrigueovo vzorec

$$P_n(x) = \frac{1}{2^n n!} \frac{d^n}{dx^n} [(x^2 - 1)^n] \quad \rightarrow \text{vzorec pro generaci LP na } \langle -1, 1 \rangle$$

- polynom stupně 0 :  $P_0(x) = 1 \quad 2^0 = 1; 0! = 1 \dots$   
- ——— 1 :  $P_1(x) = \frac{1}{2} \cdot 2x = x$

$$P_1(\sin \varphi) = \sin \varphi$$

- ——— 2 : - složitější  
 $\hookrightarrow$  GDE s i. s ním moh. vystupat  
 vztahy mezi systémy

$$P_2(x) = \text{hence } x^2 = \frac{3}{2}x^2 - \frac{1}{2}$$

Potenciál odstředivé síly

$$dA = \vec{F} \cdot d\vec{r} = m \frac{d\vec{r}}{dt} \cdot d\vec{r} = m \frac{d\vec{r}}{dt} \cdot d\vec{r} = m (\vec{v} \cdot d\vec{r}) \quad \rightarrow \text{skalární součin}$$

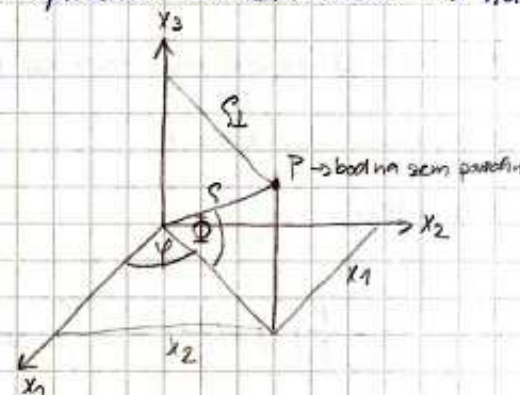
$$\vec{F} \cdot d\vec{r} = m \cdot v \cdot d\vec{r}$$

$$\int_{r_1}^{r_2} \vec{F} \cdot d\vec{r} = \frac{1}{2} m v_2^2 - \frac{1}{2} m v_1^2 \quad \rightarrow \text{popisuje kinetickou energii}$$

$$E_p + E_k = \text{konst.}$$

$$E_k = \frac{1}{2} m v^2$$

- aplikace na zem. těleso  $\rightarrow$  na body na povrchu Země



$$g_L = g \cos \varphi$$

$\omega \Rightarrow$  úhlový rychlost  $\rightarrow$  rotace ( $\pm \varphi$ )

$$\omega = \frac{1}{T} [s^{-1}]$$

$$\omega = \frac{\partial \varphi}{\partial t} \Rightarrow \varphi = \omega \cdot t$$

$$E_k = \frac{1}{2} m s^2 \omega^2 \cos^2 \varphi$$

$$E_k = \frac{1}{2} m s^2 \omega$$

$$Q = \frac{E_k}{m} = \frac{1}{2} s^2 \omega^2 = \frac{1}{2} s^2 \omega^2 \cos^2 \varphi \quad \rightarrow \text{potenciál OS rotace Země}$$

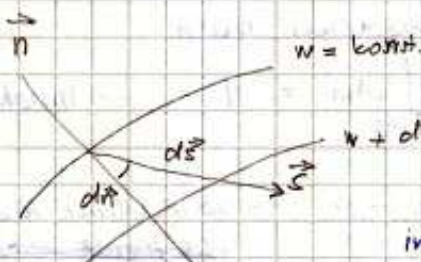
$\hookrightarrow$  musí se převést k  $V = h \cdot \text{hod}$

Celkový tříhodnotní potenciál

$$W = V + Q$$

$V$  - grav. potenciál  
 $Q$  - odstírovací síla země  
 rotace

$$W = \frac{G}{S} \int_m^{\infty} \sum_{n=0}^{\infty} \left(\frac{g_0}{S}\right)^n P_n(\cos \psi) dr' + \frac{1}{2} \rho^2 g_m \cos^2 \phi \omega^2$$



$$\text{intenzita } k = \quad [\text{m}^{-2}]$$

- max. hodnota bude ve směru normály
- sítovní bude být  $\perp$  na normálu

$$\frac{\partial W}{\partial \vec{s}} = - \frac{\partial W}{\partial \vec{n}} \cos(-\vec{n}; \vec{s}) = \vec{\text{grad}} W \rightarrow \text{vektor tříhodnotní zvýšení } \vec{g}$$

$$d\vec{n} = \frac{-\vec{\partial}W}{g}$$

$$dh = - \frac{dW}{g}$$

$$dW = -gdh$$

$$dh = \text{konst.}$$

Brunsvíkův teorema 82K  
 $\rightarrow$  popisuje vztah oddnorodnosti k polohám

$\rightarrow h$  se zmenovává  $\Rightarrow$   
 a. integrální  
 b. mimořádné zvýšení  
 prostý se zvýší,  
 $g$  se zmenovává

$$W_B - W_A = \Delta W_{AB} = \int_A^B g dh = gm \int_A^B dh = \\ = gm \Delta h_{AB}$$

$$\Delta h_{AB} = - \frac{\Delta W_{AB}}{gm}$$

definice výšky

$\rightarrow$  přemyslení je dleto podle str. int. hodnot a rozdílem tříhodnotního potenciálu v bodě A a B

$W_0$  - zvolena nulová hladina  $\rightarrow$  referenční

$$h_A = - \frac{\Delta W_{AB}}{gm}$$

$\rightarrow$  pravá ortometrická výška

$\rightarrow$  výška nad geoidem

- výšky jsou fyzikální, geometrické je pouze předpoklad
- gm je hodnota, kt. je množ. mrist, ale určit se ovládá
- uvaž: výšky, kt. mají hodnotu jinou než gm  $\rightarrow$  výšky normální (Hodnoty)

Stokesovy koeficienty rozvoje gravitačního potenciálu Země

- možný argument Legendrova polynomů využívají cos. větších sklonů  
 $\cos \psi = \cos(90^\circ - \phi) \cos(90^\circ - \phi') + \sin(90^\circ - \phi) \sin(90^\circ - \phi') \cos(\lambda - \lambda')$   
 $\cos \psi = \sin \phi \sin \phi' + \cos \phi \cos \phi' \cos(\lambda - \lambda')$

- používá věta (admiral teorema)

$$P_n(\cos \phi) = \sum_{n=0}^m (2-j) \frac{(n-m)!}{(n+m)!} P_{m-j}(\sin \phi) P_{m+j}(\cos \lambda) \cos(n(\lambda - \lambda'))$$

## Legendreové polynomy, L. kce, sférické polynomy, sférická kce

### Stokesovy koeficienty

- současností je se bez nich nedojde, pročuje nám,

$$\frac{C_{mn}}{S_{mn}} = \frac{(2-\sigma) (n-m)!}{M_\oplus a_0^n (n+m)!} \int_{M_\oplus} \sin^m \theta P_{mn} (\sin \theta) \sin^{n-m} \theta dm'$$

$\hookrightarrow$  zavedeme do vztahu  $V(P) = \dots$

- integrujeme přes celý objem Země
- nezávisle → nezávislou potřebou rozdělení hustot

$$\frac{C_{00}}{S_{00}} = \frac{1}{M_\oplus} \int_{M_\oplus} 1 \cdot 1 dm = \frac{1}{M_\oplus} \int_{M_\oplus} dm' = 1 \quad \rightarrow \text{hmotnost Země?}$$

- $n=1 m=0,1$ , tak  $C_{10}=C_{11}=J_{11}=0$   $\rightarrow$  souřadnice težiště ~~blízko~~ <sup>Země</sup> ~~do težiště~~ <sup>je ve vzdálosti</sup>  
 $J_{11}(x_1, x_2, x_3)$  od težiště konstanta

- stupně 2  $\approx 5$  tisíci

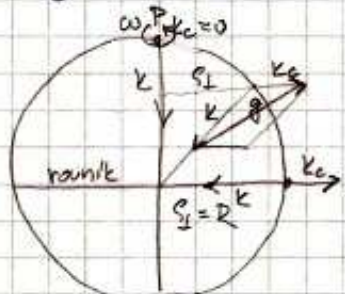
- bude-li paralek s težištěm Země  $\rightarrow$  Stokesovy k. = 0
- C<sub>20</sub> je dominantní při popisu grav. pole  $\rightarrow$  moment rotacnosti ve stupni 2  
 $\rightarrow$  info o mrazi polymetrie  $\rightarrow$  zploštění
- stupně: 0 - hmotnost Země  
1 - je vzdálost do težiště Země, proto kde = 0  
2 - popise zploštění

## Tříhou potenciál Země

$$W = V + Q$$

- $W = \text{konst.}$
- def. plochu hladinovou tříhoučko pole Země
  - plocha horizontu, k této ploše se vymýkají libeky, průchody
  - hladinových ploch je co mnoho, my si zvolíme jednu  
→ ref. plochu
- ↳ bude se tak, aby reprezentovala hladinu nejakeho moře  
→ proto nadm. výšky.

$$2K_F \frac{-\partial W}{\partial} = \vec{g}$$



tříhouzrychlení, t.j. umíme mít

↳ součet 2. vektorů:  $\vec{g} + \vec{K}_c$

↳ nejdá do rezultátu, je odklonen o nejaký  $\neq$

↳ na rovníku je nejménší,  $K_c$  je největší

↳ na polu  $K_c = 0$ , proto tříh. zr. je největší

↳ od rovníku k polu pomale

} na kouli

PŘ 10

$$dW = -g dh \quad (\text{velmi odličného výšky})$$

↳ rozdil mezi <sup>2</sup> plochami = konst

→ hmotnost zvyšuje se méně, odkazují k polovině výšky

$$g dh \rightarrow g \text{ roste} \propto dh \rightarrow \text{aby bylo konst.}$$

→ hl. plochy se sbíhají odkazují k polovině výšky

- H bude uvnitř stejná na všech hl. plochách

ortomatriková výška

↳ gm nejde přesně určit → problém

### Normalní hmotové pole

- součet:  $\mathbf{W} + \mathbf{Q} = \mathbf{W}$    
 $\mathbf{W}$  - gravitační potenciál  
 $\mathbf{Q}$  - odstíedelná síla

$$W = \frac{GM_\oplus}{r} \left\{ 1 + \sum \sum \left( \frac{a_0}{r} \right)^n C_{nm} \cos \dots \right.$$

- musí být splněny 3 podmínky:

1. rotace symetrické těleso

↳ nesmí být závislost na  $\lambda \rightarrow n=0$ , tak nebude závislost

$$W =$$

2. počátek soudary musí být v třídě

$$\Rightarrow n=2 \text{ an}^n$$

3. těleso symetrické všechny rovniny

↳ nutné hodnoty všech členů rozvoje hmotového stupně

$GM_\oplus$  - konstanta

$w$  - úhrada v záme

$a_0$  - polomer ..., délka hl. polohy

$C_{20}$  - tokesuv koeficient 2. stupně

- popis polověkého způsobu země

dostaneme těleso → koule, když bude zplňovat!

Clairautovu sféru

$U$  - smíšený modelování potenciál, normalní hmotový potenciál

$$U = \frac{GM_\oplus}{r} \left\{ 1 + \frac{a_0^2}{r^2} C_{20} P_2(\cos \phi) + \dots \right.$$

- současné je to i hl. plocha

$U_0$  - na rovninu

$$U_0 = \frac{GM_\oplus}{a_0} \left\{ 1 + \frac{1}{2} C_{20} + \frac{1}{2} q \right\}$$

- záporná parciální derivace rovnice  $\rho \rightarrow$  dlešímu  $\rho$
- $$\rho = \frac{GM_0}{\rho^2} \left\{ 1 - \frac{4}{3}q - (c_0 + \frac{4}{3}q) \cdot P_{20} \sin \phi \right\}$$

C. sféroid prestat GDE měřit už o 1900.  $\rightarrow$  menšího rozdílu mezi výškou dobré  $\rightarrow$  zlepšení:

- výpočetní H. sféroidy
- $\rightarrow n=2$  nahrazeno  $n=3$  (0,2 a 4)
- $\rightarrow$  přesnéji se vše k malé
- $\rightarrow$  používá se dodnes

H. sféroidy se dojde nahradit ellipsoidem  $\rightarrow$  hypoteza je i výh. el.  $\rightarrow$

indiv. el. pro grav. vzd. GDE  
 el. pro h. z. — —

⇒ ellipsoid není h. plášť, protože je na sféroidu napětí (gravimetrie)

$$\rho = 9,780 \text{ 000 } (1 + \dots)$$

uzk.  $\rightarrow$  ktere hodnoty se mohou a, že podílají se  
 $\rightarrow \rho$  je podél délky vzd.  $\rightarrow$  je gravimetry sítové

Anomální h. h. pole

- jeto rozdíl mezi vzdálym a hypotezou nej. potom
- koliky nov. h. h. pole bude, takže obdobně, tak by rozdíl mezi h. anomalií = 0  
 $\rightarrow$  alespoň je to nejmenší
- chce se co nejméně rozdíl mezi h. anomalií

(nad)

⇒ my tu můžeme použít zákon o povrchu Země

h. h. anomálie (anomalia) uzk.

- hodnota prav. rozdílu je dvojnásobek hodv.
- ohledně je dleto i GDE pravý
- rozdíl  $g_P - g_Z$ ?

⇒ rozdíl  
neplatí

- záporný gradient ...

$g$  (intenzita gravitace Země) - zákon o povrchu ...

redukce na vzdálenou vzdálenost (Payova)

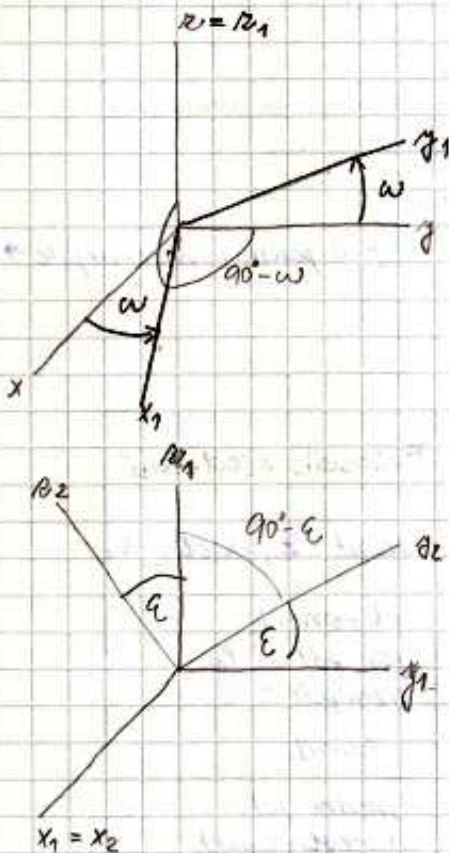
- základna  $g$  na Impregnaci ~~a~~  $\rightarrow$  vzdálenost  $H$
- závislost na nadm. výšce
- závislost hmotnosti bodu nad povrchem a země
- převod hodnoty na povrch gravitu

Buganova redukce (anomalia)

- mezi bodem nad povrchem a na povrchu je rozdíl v závislosti ~~z~~ délky, a to se odvízí (zvětšuje) interval
- hodnoty, když je vkládají do map  $\rightarrow$  mapy hmotnostních anomalií
- $\rightarrow$  hmotnostní přečtení, protože to nevidí v Payově, můžete pak přepracovat

PR

## 3.1.3. Elementární tce pomocí rotacioních &amp; Eul. typů



$$\begin{bmatrix} x_1 \\ y_1 \\ z_1 \end{bmatrix} = \begin{bmatrix} \cos\omega & \sin\omega & 0 \\ -\sin\omega & \cos\omega & 0 \\ 0 & 0 & 1 \end{bmatrix} \begin{bmatrix} x \\ y \\ z \end{bmatrix} = Z(\omega)$$

mezi  $x_1 \text{ a } x \Rightarrow \omega$   
mezi  $x_1 \text{ a } y \Rightarrow 90^\circ - \omega$

↳ rotační  
kolektoře  
pohybů  $\omega$

$$\begin{bmatrix} x_2 \\ y_2 \\ z_2 \end{bmatrix} = \begin{bmatrix} 1 & 0 & 0 \\ 0 & \cos\epsilon & \sin\epsilon \\ 0 & -\sin\epsilon & \cos\epsilon \end{bmatrix} \begin{bmatrix} x_1 \\ y_1 \\ z_1 \end{bmatrix} = X(\epsilon)$$

$$\begin{bmatrix} x_1 \\ y_1 \\ z_1 \end{bmatrix} = \begin{bmatrix} \cos\psi & 0 & -\sin\psi \\ 0 & 1 & 0 \\ \sin\psi & 0 & \cos\psi \end{bmatrix} \begin{bmatrix} x_2 \\ y_2 \\ z_2 \end{bmatrix} = Y(\psi)$$

$\psi$  - musí být matematické  
kladné' (proto hodnota)

$$\vec{r}' = Y(\psi) X(\epsilon) Z(\omega) \vec{r} = R_{Y\epsilon\omega} \vec{r}$$

\* mate' (do 10'')  $\rightarrow$  matici  $R$  se dle' 2jednotek :  $\cos( ) = 1$   
 $\sin( ) = 0$

$$R_{Y\epsilon\omega} = \begin{pmatrix} 1 & 0 & -\epsilon \\ 0 & 1 & 0 \\ \epsilon & 0 & 1 \end{pmatrix} \begin{pmatrix} 1 & 0 & 0 \\ 0 & 1 & \omega \\ 0 & -\omega & 1 \end{pmatrix} =$$

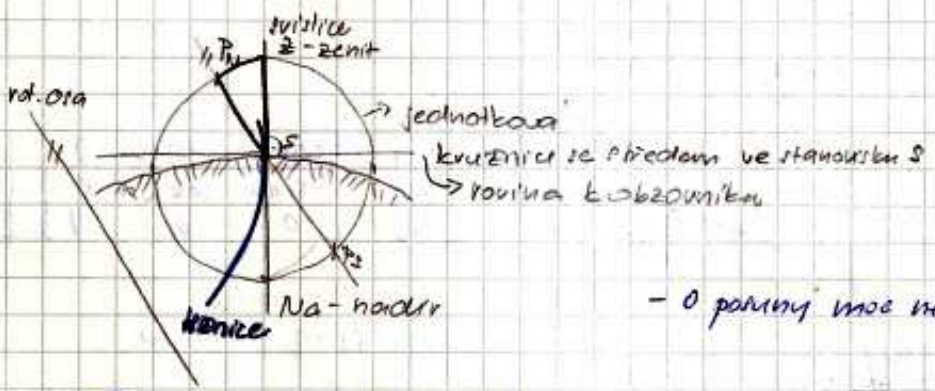
$$= \begin{pmatrix} 1 & \boxed{\omega} & \boxed{-\epsilon} \\ -\omega & 1 & \boxed{\epsilon} \\ \epsilon & -\omega & 1 \end{pmatrix} + \{2\}$$

zaměňte čísla v 2. řádku

$$\begin{bmatrix} x' \\ y' \\ z' \end{bmatrix} = \begin{bmatrix} A_1 \\ A_2 \\ A_3 \end{bmatrix} + (1+\textcolor{red}{m}) \begin{bmatrix} 1 & \textcolor{blue}{\omega} & \textcolor{red}{-\epsilon} \\ -\omega & 1 & \textcolor{blue}{\epsilon} \\ \epsilon & -\omega & 1 \end{bmatrix} \begin{bmatrix} x \\ y \\ z \end{bmatrix}$$

- závislost na 7 parametrech  $\Rightarrow$  7. prvek Helmholtzova tce

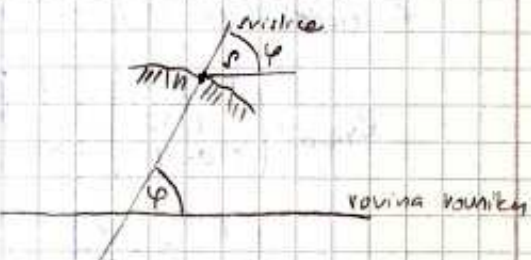
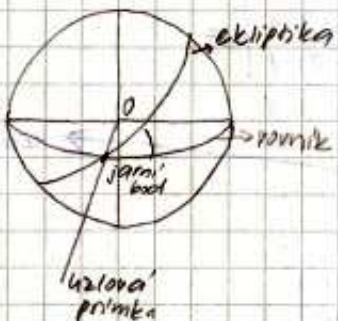
### 3.2. Astronomické souřad. soustavy



- O pozice moh mejet → nesou dostatek

Tab. Stanovisko a zákl. roviny

Veličina	Definice	Průsek s jed. koulí
svislice	kona k hřizici	zenit - Z, nadir - N
rovina obzorník	↑ k svislici	obzorník
rotacioni osa	se stř. rot. osou	sev pol - PN jižní pol - PS
rovina rovníku	↑ k rot. ose	rovník
rovina - místního pol.	bod S + 2. linery S, mísice,    rot. osa	místní pol. (line per alón)
rovina ekliptiky	rovina oběhu	ekliptika
směr k polu	země-kolem slunce	pole
ekliptiky	ekliptiky	ekliptiky Pe
jednot užlová'	průsek oběhu roviny	jarní
bod primátor	rovinky ekliptiky	bod V
astron. zemepisna	mezi svislici	X
šířka	a rovníkem	
astron. zemepisna	+ rovinu místního pol.	X
délka	a zákl. pol. rovinu	



zákl. polečovně (Greenwich)  
- 02n. -  $\lambda$

## Základní astronomické soustavy

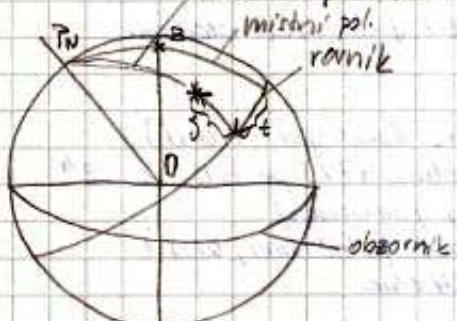
1. Obzorníková
2. Rovníková ← první  
druhá
3. Ekliptická
4. Galaktická

} my se bude vyučovat pouze téma 3

### 1. Obzor Rovníková soustava

- soustava založená na obzoru

hvězdou proti směru h. kružnice



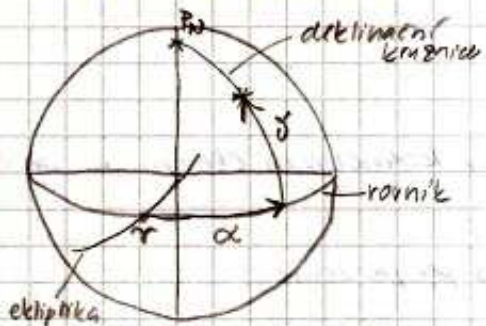
$l$  - hodinový  $\angle \langle 0^\circ, 24^\circ \rangle$   
 $d$  - deklinace  $\langle -90^\circ, +90^\circ \rangle$

$t$  - se zmenší jednou za 24 hod  
- za den o 24 hod

$\Theta$   $t$ -se během dne mění, radaži chybíme něco, co si takto nemůžeme

### 2. Rovníková soustava

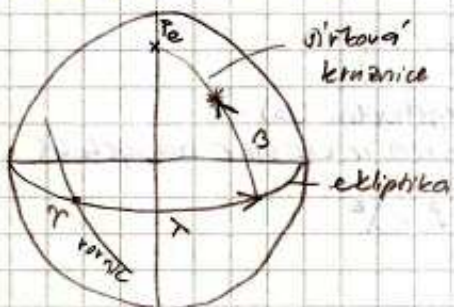
- nezávislá na obzoru



$\alpha$  - vektorský  $\angle \langle 0^\circ, 24^\circ \rangle^+$   
 $\delta$  - deklinace  $\langle -90^\circ, 90^\circ \rangle$

$\alpha_r = 0$   
 $\delta_r = 0$  } počátek

### 3. Ekliptická soustava



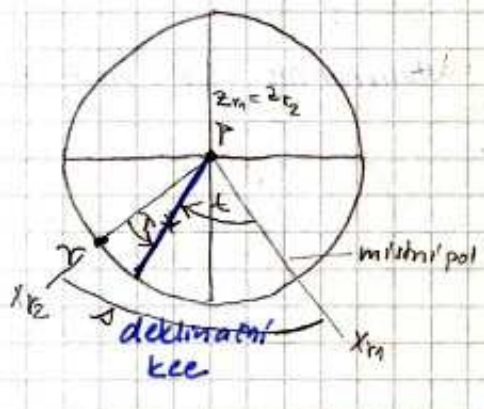
$\beta$  - ekliptická výška  $\langle -90^\circ, 90^\circ \rangle$   
 $\lambda$  - - - - délka  $\langle 0^\circ, 360^\circ \rangle$

$\beta_0 = 0^\circ$   $\Theta$  - zn. Slunce  
↳ leží na ní

### 3.2.2. Vzdělenostní soustava

$$s_1 \leftrightarrow s_2$$

$s$  - místní hodinový čas  
- hodinový  $\angle$  jarního bodu  
 $\alpha = \alpha_r + t_r$   
 $s = \alpha_r + t_r = 0 + t_r$



$$S_{\text{re}} = 2(-s) S_m$$

→ rotujeme koleno v ř. 2 o  $\pm -s$

$$S_m = 2(s) S_{\text{re}}$$

→ " " " o  $\pm +s$

$\varphi$  - světový (greenwichský) hvezdný čas

### 3.3. Základní pojmů k nánky o čase

Hesecí a udržované časy se dělí pomocí periodických udržujících

periodické udržující (astron. úkazy) nebo nepřetržitý proces (hodiny)

Muslimské def. poslední jednotka je početek (epocha) a začátek

#### 3.3.1. Julidinské datum a modif. julidinské datum

- 029. JD ~~a~~

- přiblžné počátky dnů

- zavedlo to Josephus Justus Scaliger (16.st.)

- počátek JD (epocha): 1. ledna 4713 př. n.l. ve 12<sup>h</sup>

- časová jednotka: 1 den julidinský  
(24 hod → 60 min, 60 s)

- odkazem jul. rok: 365,24 dny

- jul. století: 36 525 dnů

- 029. MJD

- MJD = JD - 2 400 000,5

- pr. 1.1.2020 12<sup>h</sup> UT1 → JD = 2451545,0  
→ epocha 12000

$$\text{MJD} = 51544,5$$

- ex. algoritmy, kt. převodou kalendářní datum na jiné JD a zpět

#### 3.3.2. Rotacioní časy

- odkazují k rot. periodického pohybu Země

- časy ↓ herzdičné  
slunecní

• hvezdný čas mimožemšťana hod. +  $\tau$

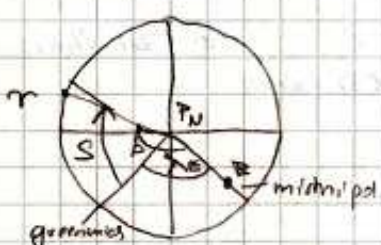
- hod. +  $\tau$

• sv. hv. čas mimožemšťana z Greenwich

$\lambda^E$  - východní (E)

- mimožemšťan kladou na východ

$$\lambda - \varphi = \lambda^E$$



slunecní čas def. hod. + slunce + 12<sup>h</sup>

- Slunce v místním pol. = polohový

- pravé' polohové = pravý sl. čas

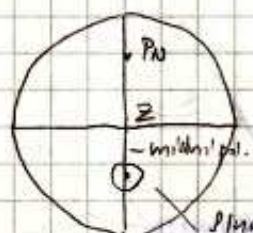
- hod. + 12<sup>h</sup> = sv. slunecní - čas

↳ sv. slunce 12. března 1999. r. k.

mohou být odlišné,

- my použ. typ. def. mimožemšťan pomou

atmosférou

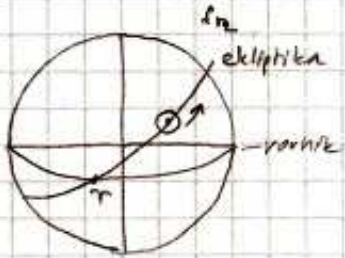


Slunce v polohu t\_0 = 0

### 3.3.3. Vztah mezi hv. a sl. časy

- posl. k tomu hodnota tropického roku

$\rightarrow$  interval, za který dojde ke 2. přechodu dne s rovníkem  
bodem  $\gamma$ , 365,2422 sl. dne



hv den: otoka země kolem  
jarního bodu  $\gamma$

$$\frac{\text{dop. rok v hv. čase}}{\text{trop. rok ve sl. čase}} = \frac{365,2422 + 1}{365,2422} = 1,0027 = (1 + m)$$

obecne:  $\frac{\text{Interval v hv. čase}}{\text{Interval ve sl. čase}} = (1 + m) = 1,0027$

$$\frac{P - P_0}{M - M_0} = 1 + m \quad \rightarrow \quad (S - S_0) = (M - M_0)(1 + m)$$

$\uparrow$  se volí 0<sup>h</sup> UT1 a k němu se přidáva 0

$$S - S_0 = M(1 + m) - UT1(1 + m)$$